

一辺が点支持され他の辺が車輪支持される矩形板の解法

九井大志 正夏 山崎徳也
 " 正夏 檜木武
 " 厚生夏 〇山田喜四夫

1 緒言

板周辺において板と柱とが直交して直結する構造物は、土木、建築の各分野でわれわれの多く目にすることころであるが、これら構造物に対する理論的研究はいまみあたらぬ。

本研究は一辺が車輪支持され、他の辺が柱にて支持される矩形板に、任意垂直荷重が作用する場合の厳密理論解法を提示し、かつ構造物の解析および設計に資せんとするものである。

2 解法

一般に板と直交して直結する柱には柱から垂直反力、水平反力、曲げモーメントおよび接りモーメントが伝えられるが、本研究では垂直反力のみが伝えられる場合について述べることとする。

(1) 板の弾性曲面

図-1に示す乙とくAB辺に沿ってX軸、AC辺に沿ってY軸、紙面に直交してZ軸をもつ直交座標系(x, y, z)を導入する。板ABC Dは辺AB, CDで車輪支持され、また辺ACから個の中間支点(i=1, 2, ..., r)と、辺BDから個の中間支点(j=1, 2, ..., s)で点支持されるものとする。しかるととき、辺AB, CDの境界条件は次のとおりである。

$$\begin{aligned} y=0 \text{ と } (w)_{y=0}=0, \quad M_y = -D\left(\frac{\partial^2 w}{\partial y^2} + \nu \frac{\partial^2 w}{\partial x^2}\right)_{y=0} = 0 \\ y=b \text{ と } (w)_{y=b}=0, \quad M_y = -D\left(\frac{\partial^2 w}{\partial y^2} + \nu \frac{\partial^2 w}{\partial x^2}\right)_{y=b} = 0 \end{aligned} \quad (1)$$

R>L

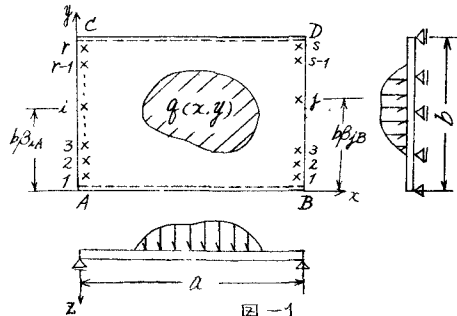
D: 板剛度 [$E\frac{R^3}{12(1-\nu^2)}$] h: 板の厚さ
 E: 板の弹性係数 ν: 板のボアソン比

板に任意垂直荷重 $q(x, y)$ が作用し、かつ式(1)の境界条件を満足するとき板の弾性曲面 w は次式であらわされる。

$$w = \sum_{n=1}^{\infty} \left\{ (A_n + B_n x) \sinh \beta_n x + (C_n + D_n x) \cosh \beta_n x \right\} \sin \beta_n y + \sum_{m=1}^{\infty} \sum_{n=1}^{\infty} \frac{G_{mn}}{D(d_m^2 + \beta_n^2)} \sin d_m x \sin \beta_n y \quad (2)$$

A_n, B_n, C_n, D_n は積分定数、 $d_m = \frac{m\pi}{a}$ 、 $\beta_n = \frac{n\pi}{b}$ 、 $G_{mn} = \frac{4}{ab} \int_0^b q(x, y) \sin d_m x \sin \beta_n y dx dy$

積分定数 $A_n \sim D_n$ は $x=0, a$ における辺AC, BDの境界条件を満足するよう決定すればよい。すなわち、板から柱に伝えられる反力を正弦 Fourier級数にくらべしきらめと假定すれば、境界条件式は次のとくなる。



$$\left. \begin{array}{ll} z=0 & M_x = -D \left(\frac{\partial^2 w}{\partial x^2} + \nu \frac{\partial^2 w}{\partial y^2} \right)_{x=0} = 0, \quad V_x = -D \left\{ \frac{\partial^2 w}{\partial x^3} + (2-\nu) \frac{\partial^2 w}{\partial x \partial y^2} \right\}_{x=0} = \sum_{n=1}^{\infty} V_{Bn} \sin \beta_n y \\ z=a & M_x = -D \left(\frac{\partial^2 w}{\partial x^2} + \nu \frac{\partial^2 w}{\partial y^2} \right)_{z=a} = 0, \quad V_x = -D \left\{ \frac{\partial^2 w}{\partial x^3} + (2-\nu) \frac{\partial^2 w}{\partial x \partial y^2} \right\}_{z=a} = \sum_{n=1}^{\infty} V_{Bn} \sin \beta_n y \end{array} \right\} \quad (3)$$

$\bar{n} \leq L$ V_{Bn} , V_{Bn} は任意常数

地方、辺ACの各中间支点の座標値をそれぞれ $(0, b\beta_{1n}), (0, b\beta_{2n}), \dots, (0, b\beta_{In}), \dots, (0, b\beta_{Rn})$ とし、各中间支点に生ずる垂直反力を $R_1^A, R_2^A, \dots, R_i^A, \dots, R_r^A$ とすると、これらを $0 \leq y \leq b$ の範域にて正弦フーリエ級数に展開すれば次式のとくなる。

$$R_1^A = \sum_{n=1}^{\infty} R_{Bn}^A \sin \beta_n y, \quad R_2^A = \sum_{n=1}^{\infty} R_{Bn}^A \sin \beta_n y, \quad \dots, \quad R_i^A = \sum_{n=1}^{\infty} R_{Bn}^A \sin \beta_n y, \quad \dots, \quad R_r^A = \sum_{n=1}^{\infty} R_{Bn}^A \sin \beta_n y \quad (4)$$

$$\bar{n} \leq L \quad R_m^A = \lim_{z \rightarrow 0} \frac{2}{b} \int_{b\beta_{m-1}}^{b\beta_m} \frac{R_1^A}{2A} \sin \beta_n y dy = \frac{2}{b} R_{Bn}^A \sin m\pi \beta_n, \quad R_m^B = \lim_{z \rightarrow 0} \frac{2}{b} \int_{b\beta_{m-1}}^{b\beta_m} \frac{R_2^A}{2A} \sin \beta_n y dy = \frac{2}{b} R_{Bn}^A \sin m\pi \beta_n,$$

$$\dots, \quad R_m^A = \lim_{z \rightarrow 0} \frac{2}{b} \int_{b\beta_{m-1}}^{b\beta_m} \frac{R_i^A}{2A} \sin \beta_n y dy = \frac{2}{b} R_{Bn}^A \sin m\pi \beta_n, \quad \dots, \quad R_m^B = \lim_{z \rightarrow 0} \frac{2}{b} \int_{b\beta_{m-1}}^{b\beta_m} \frac{R_r^A}{2A} \sin \beta_n y dy = \frac{2}{b} R_{Bn}^A \sin m\pi \beta_n.$$

辺ACの全反力 T_A は、上記各中间支点の垂直反力の総和で与えられると式(3)の任意常数 V_{Bn} として次をうる。

$$T_A = \frac{2}{b} \sum_{j=1}^r R_j^A \sin m\pi \beta_{jA}. \quad (5)$$

同様に辺BDにおける各中间支点の反力をそれぞれ $R_1^B, R_2^B, \dots, R_i^B, \dots, R_s^B$ とすれば、式(3)の任意常数 V_{Bn} は次のとくられる。

$$V_{Bn} = \frac{2}{b} \sum_{j=1}^s R_j^B \sin m\pi \beta_{jB} \quad (6)$$

次に式(2)を式(3)に代入すれば次のとく連立方程式をうる。

$$\left. \begin{array}{l} \frac{2}{\beta_n} B_n + (1-\nu) C_n = 0 \\ (1-\nu) \sinh \beta_n \cdot A_n + \{ a(1-\nu) \sinh \beta_n + \frac{2}{\beta_n} \cosh \beta_n \} B_n + (1-\nu) \cosh \beta_n \cdot C_n + \{ a(1-\nu) \cosh \beta_n + \frac{2}{\beta_n} \sinh \beta_n \} \cdot D_n = 0 \\ (1-\nu) \beta_n^3 \cdot A_n - (1+\nu) \beta_n^2 \cdot D_n + \sum_{m=1}^{\infty} K_{mn} - \frac{V_{Bn}}{D} = 0 \\ (1-\nu) \beta_n^3 \cosh \beta_n \cdot A_n + \{ a(1-\nu) \beta_n^3 \cosh \beta_n - (1+\nu) \beta_n^2 \sinh \beta_n \} \cdot B_n + (1-\nu) \beta_n^3 \sinh \beta_n \cdot C_n \\ + \{ a(1-\nu) \beta_n^3 \sinh \beta_n - (1+\nu) \beta_n^3 \cosh \beta_n \} \cdot D_n + \sum_{m=1}^{\infty} (-1)^m K_{mn} - \frac{V_{Bn}}{D} = 0 \end{array} \right\} \quad (7)$$

$$\bar{n} \leq L \quad K_{mn} = \frac{(dm^2 + (2-\nu) \beta_n^2) dm}{(\cosh^2 \beta_n + \beta_n^2)^2 \cdot D} \cdot G_{mn}$$

式(7)を連立に解けば、 $A_n \sim D_n$ が求まり次式の通りとなる。

$$\left. \begin{array}{l} A_n = \frac{1}{S_0} \left[\left(\sum_{m=1}^{\infty} K_{mn} - \frac{V_{Bn}}{D} \right) E_o + \left(\sum_{m=1}^{\infty} (-1)^m K_{mn} - \frac{V_{Bn}}{D} \right) F_o \right], \quad B_n = \frac{1}{S_0} \left[\left(\sum_{m=1}^{\infty} K_{mn} - \frac{V_{Bn}}{D} \right) G_o + \left(\sum_{m=1}^{\infty} (-1)^m K_{mn} - \frac{V_{Bn}}{D} \right) H_o \right] \\ C_n = \frac{1}{S_0} \left[\left(\sum_{m=1}^{\infty} K_{mn} - \frac{V_{Bn}}{D} \right) I_o + \left(\sum_{m=1}^{\infty} (-1)^m K_{mn} - \frac{V_{Bn}}{D} \right) J_o \right], \quad D_n = \frac{1}{S_0} \left[\left(\sum_{m=1}^{\infty} K_{mn} - \frac{V_{Bn}}{D} \right) K_o + \left(\sum_{m=1}^{\infty} (-1)^m K_{mn} - \frac{V_{Bn}}{D} \right) L_o \right] \\ K_o = \frac{\pi a \alpha}{D}, \quad S_0 = (3+\nu)^2 \sinh^2 \beta_n - (1-\nu)^2 \beta_n^2 \\ E_o = -\frac{2(3+\nu)}{(1-\nu) \beta_n^2} \sinh^2 \beta_n + \frac{a^2(1-\nu)}{\beta_n^2}, \quad F_o = -\frac{a(1-\nu)}{\beta_n^2} \sinh \beta_n, \quad G_o = -\frac{3+\nu}{\beta_n^2} \sinh \beta_n \cosh \beta_n - \frac{a(1-\nu)}{\beta_n^2}, \\ H_o = \frac{3+\nu}{\beta_n^2} \sinh \beta_n + \frac{a(1-\nu)}{\beta_n^2} \cosh \beta_n, \quad I_o = \frac{2(3+\nu)}{(1-\nu) \beta_n^2} \sinh \beta_n \cosh \beta_n + \frac{2a}{\beta_n^2}, \\ J_o = -\frac{2(3+\nu)}{(1-\nu) \beta_n^2} \sinh \beta_n - \frac{2a}{\beta_n^2} \cosh \beta_n, \quad K_o = \frac{3+\nu}{\beta_n^2} \sinh \beta_n, \quad L_o = -\frac{a(1-\nu)}{\beta_n^2} \sinh \beta_n \end{array} \right\} \quad (8)$$

式(8)を式(2)に代入すれば图-1に示す弹性曲面Wが次のとくとなる。

$$W = \sum_{n=1}^{\infty} \left[\left(\sum_{m=1}^{\infty} K_{mn} - \frac{V_{Bn}}{D} \right) \bar{P}_n + \left\{ \sum_{m=1}^{\infty} (-1)^m K_{mn} - \frac{V_{Bn}}{D} \right\} \cdot \bar{Q}_n + \sum_{m=1}^{\infty} \frac{G_{mn}}{D(dm^2 + \beta_n^2)} \sin \alpha_m x \right] \sin \beta_n y \quad (9)$$

$R > L$

$$\begin{aligned}\bar{P}_n &= \frac{1}{S_0} \left\{ \sinh \beta_n x (E_0 + x G_0) + \cosh \beta_n x (I_0 + x K_0) \right\} \\ \bar{Q}_n &= \frac{1}{S_0} \left\{ \sinh \beta_n x (T_0 + x H_0) + \cosh \beta_n x (J_0 + x L_0) \right\}\end{aligned}$$

(2) 基本連立方程式の説明

辺 AC , BD の各中間支点がそれぞれ $d_{1A}, d_{2A}, \dots, d_{RA}, \dots, d_{RA}$ および $d_{1B}, d_{2B}, \dots, d_{RB}, \dots, d_{SB}$ なる垂直変位（ y 軸の正の向きを正とする）を起したものとする。しかるとさ板の弹性曲面 W は各中間支点においてこれら中間支点の垂直変位に等しくなければならぬ。すなはち

$$\left. \begin{aligned}(W)_{x=0}^y = d_{1A}, (W)_{x=0}^y = d_{2A}, \dots, (W)_{x=0}^y = d_{RA}, \dots, (W)_{x=0}^y = d_{RA} \\ (W)_{x=a}^y = d_{1B}, (W)_{x=a}^y = d_{2B}, \dots, (W)_{x=a}^y = d_{RB}, \dots, (W)_{x=a}^y = d_{SB}\end{aligned} \right\} (10)$$

式(10)に式(9)を代入し、かつ V_{An}, V_{Bn} として式(5), (6)を用い演算のうえ整理すれば、矩形板を支える各中間支点反力を求めるための基本連立方程式が次のとくえられる。

$$\left. \begin{aligned}\sum_{k=1}^L \left(\sum_{n=1}^{\infty} \bar{P}_n^0 \sin n\pi \beta_{kA} \sin m\pi \beta_{kA} \right) R_{kA} + \sum_{j=1}^S \left(\sum_{n=1}^{\infty} \bar{Q}_n^0 \sin n\pi \beta_{kB} \sin m\pi \beta_{kB} \right) R_{kB} \\ = \frac{Db}{Z} \left[\sum_{n=1}^{\infty} \sum_{m=1}^{\infty} \left(\bar{P}_n^0 + (-1)^m \bar{Q}_n^0 \right) K_{mn} \sin n\pi \beta_{kA} - d_{RA} \right] \quad (k=1, 2, \dots, L) \\ \sum_{k=1}^L \left(\sum_{n=1}^{\infty} \bar{P}_n^0 \sin n\pi \beta_{kA} \sin m\pi \beta_{kB} \right) R_{kA} + \sum_{j=1}^S \left(\sum_{n=1}^{\infty} \bar{Q}_n^0 \sin n\pi \beta_{kB} \sin m\pi \beta_{kB} \right) R_{kB} \\ = \frac{Db}{Z} \left[\sum_{n=1}^{\infty} \sum_{m=1}^{\infty} \left(\bar{P}_n^0 + (-1)^m \bar{Q}_n^0 \right) K_{mn} \sin n\pi \beta_{kB} - d_{RB} \right] \quad (k=1, 2, \dots, S) \\ R > L \quad \bar{P}_n^0 = (\bar{P}_n)_{x=0} = \frac{(1-v)^2 \sinh^2 \beta_n d_n \cosh \beta_n^2 d_n^2 + \frac{2}{d_n^2}}{(3+v)^2 \sinh^2 \beta_n - (1-v)^2 \cosh \beta_n^2}, \quad \bar{Q}_n^0 = (\bar{Q}_n)_{x=0} = -\bar{P}_n^0 \\ \bar{Q}_n^0 = (\bar{Q}_n)_{x=0} = \frac{-2(3+v)}{(1-v)^2 \sinh^2 \beta_n - (1-v)^2 \cosh \beta_n^2} \quad \bar{P}_n^0 = (\bar{P}_n)_{x=a} = -\bar{Q}_n^0\end{aligned} \right\} (11)$$

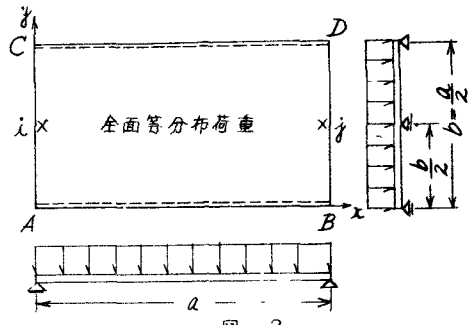
式(11)は支点反力と同数の連立方程式となるゆえ、これらを連立に解けば未知不静定反力 $R_1^A, R_2^A, \dots, R_i^A, \dots, R_L^A, R_1^B, R_2^B, \dots, R_j^B, \dots, R_S^B$ が求まることとなり、その結果を式(5), (6)に代入し、さらには式(2)に代入すれば、板の弹性曲面 W がえられることとなる。

3 計算例

図-2 に示すことく辺 AB , CD を単純支点とし、かつ辺 AC , BD の二等分点と中間支持点より矩形板に荷重強度 a の等分布荷重が満載される場合の計算例を示せば次のとおりである。

すなはち中間支点の支点変位がないものとすれば、 $d_{1A} = d_{1B} = 0$ であり、また本节では板の辺長比を $\frac{a}{L}$ とすれば式(11)に示す基本連立方程式は次の内容となる。

$$\left. \begin{aligned}\sum_{n=1}^{\infty} \bar{P}_n^0 \sin \frac{n\pi}{L} \sin \frac{n\pi}{Z} \cdot R_{1A} + \sum_{n=1}^{\infty} \bar{Q}_n^0 \sin \frac{n\pi}{Z} \sin \frac{n\pi}{L} \cdot R_{1B} = \frac{b}{Z} \sum_{m=1}^{\infty} \sum_{n=1}^{\infty} (\bar{P}_n^0 \cdot \bar{Q}_n^0) K_{mn} \sin \frac{n\pi}{Z} \\ \sum_{n=1}^{\infty} \bar{P}_n^0 \sin \frac{n\pi}{Z} \sin \frac{n\pi}{2} \cdot R_{1A} + \sum_{n=1}^{\infty} \bar{Q}_n^0 \sin \frac{n\pi}{2} \sin \frac{n\pi}{Z} \cdot R_{1B} = -\frac{L}{Z} \sum_{m=1}^{\infty} \sum_{n=1}^{\infty} (\bar{P}_n^0 \cdot \bar{Q}_n^0) K_{mn} \sin \frac{n\pi}{Z}\end{aligned} \right\} (12)$$



$$z > 1: \quad K'_{mn} = \frac{(d_m^2 + (z-1)b_n^2)dm}{(d_m^2 + b_n^2)^2} G_{mn}, \quad G_{mn} = \frac{16P_0}{mn\pi^2} \sin \frac{m\pi}{2} \sin \frac{n\pi}{2}$$

$$\sum_{n=1}^{\infty} \bar{P}_n^a \sin \frac{m\pi}{2} \sin \frac{n\pi}{2} = - \sum_{n=1}^{\infty} \bar{Q}_n^a \sin \frac{m\pi}{2} \sin \frac{n\pi}{2} = 0.3671 \times 10^{-2} a^3$$

$$\sum_{n=1}^{\infty} \bar{Q}_n^a \sin \frac{m\pi}{2} \sin \frac{n\pi}{2} = - \sum_{n=1}^{\infty} \bar{P}_n^a \sin \frac{m\pi}{2} \sin \frac{n\pi}{2} = -0.3041 \times 10^{-4} a^3$$

$$\frac{b}{2} \sum_{m=1}^{\infty} \sum_{n=1}^{\infty} (\bar{P}_n^a - \bar{Q}_n^a) K_{mn} \sin \frac{m\pi}{2} = \frac{b}{2} \sum_{m=1}^{\infty} \sum_{n=1}^{\infty} (\bar{P}_n^a - \bar{Q}_n^a) K'_{mn} \sin \frac{m\pi}{2} = 0.2358 a^5 P_0$$

式(12)を連立に解けば各中間支点反力 R_{IA}, R_{IB} が次のとく求められる。

$$R_{IA} = -R_{IB} = 0.06371 a^2 P_0. \quad (13)$$

式(13)を式(5), (6)に代入して求められる結果を式(9)に代入すれば板の弾性曲面 W が求められることとなり、 X および Z の各値について計算すれば図-3 に示す結果となる。なお図-3 は中間支点がない場合、すなはち一辺が單純支持され、他辺が自由である矩形板に等分布荷重が満載された場合の板の弾性曲面を併記して比較対照しに。

4 結 論

本法によれば板を支える各中間支点の不静定反力は式(11)の多元連立方程式を解くのみで簡単に求めることができ、さらに式(11)の係数および荷重項をあらかじめ計算のうえ因表化しておけば、本體の構造物を解くことは連續ばかりやラーメン等の骨組構造を解くのとなんら変りない努力をすることになり極めて実用的である。

また、本法と同様の手法により柱の反力メントを考慮した場合の解析ならびに直立異方性板が周辺柱にて支持される場合の解析、さらに拡張して反力および板の諸変位・諸断面力の影響面解析も可能であり、これらについては逐次發表の予定である。

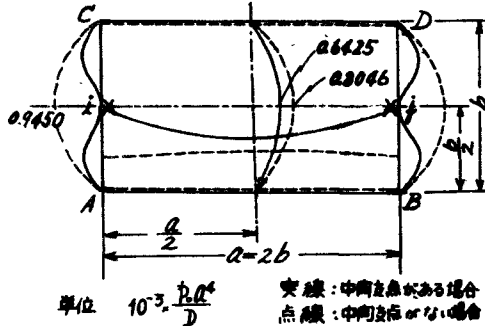


図-3